

大阪大学工学部 正員 伊藤 雄  
 大阪大学工学部 正員 ○松井 保  
 大阪大学大学院 学生員 古賀 健一

## [1] まえがき

堆積層、埋立地などの軟弱地盤においてしばしば流動現象がみられ、この現象に伴って生ずる種々の問題を取扱う際に軟弱粘土の流動特性を知ることが大いに必要となる。そこでわれわれは従来ならパイプフロー試験によって軟弱粘土の流動特性を調べているが<sup>1)</sup>、本報告においてはおもに流速の遅い部分について検討を加えるとともに、パイプフロー試験において誤差の原因と考えられる入口損失について考察を加えた結果について述べる。

## [2] 実験装置および方法

実験に使用した試料はシルト質ロームで、L.L.=72%、P.L.=31%、Gs=2.65である。実験装置は図-1に示すように内径11cm、長さ43cmのアクリル樹脂製円筒容器の一端に

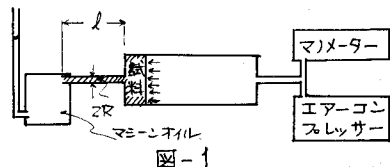


図-1

エアーコンプレッサーおよびマノメーターを接続し圧力を測定する。また他端には表-1に示す4種の内面にネジを切ったパイプを取りつけ、その先にマシーンオイルを満たした容器を接続し、その表面変位を粗管で測定することによって流量を測定する。実験はL.L.以上の含水比の試料について、繰り返して内筒容器につめ、1時間放置してからエアーコンプレッサーにより順次圧力を変化させて試験を行なう。流速の遅い場合には、流量測定用の粗管をさらに細いものと取り換えて流量を正確に測定する。なお実験では、パイプの長さをできるだけ短くしてパイプ入口の圧力損失を測定するためのものである。また流速の遅い場合および入口損失測定の場合の室内温度は24°C前後、他の場合は12°C前後に保ってそれで温度変化による影響をできるだけ避けた。

## [3] 実験結果および考察

いままでに行なった一連の実験からKrieger-Maronの方法を用いて求めた流動曲線のうち、実験Ⅲの場合を示すと図-2のごとくなれる。この図ならわなるよう壁面のせん断応力 $\tau_w$ と变形速度 $\dot{\gamma}(t)$ の関係は、直線ではなくじつも降伏値を有するから非Bingham型流動を示す。この関係は一般のせん断応力 $\tau_w$ および变形速度 $\dot{\gamma}(t)$ についても成立する。この非Bingham型流動は通常Herschel-Bulkleyの式、 $\tau_w = K(\tau_w - \tau_y)^n$ ……(i)で近似的に表わすことができる。

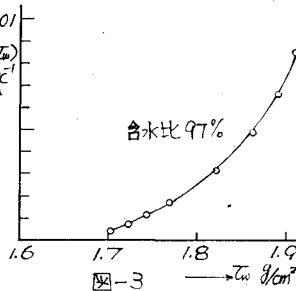


図-3

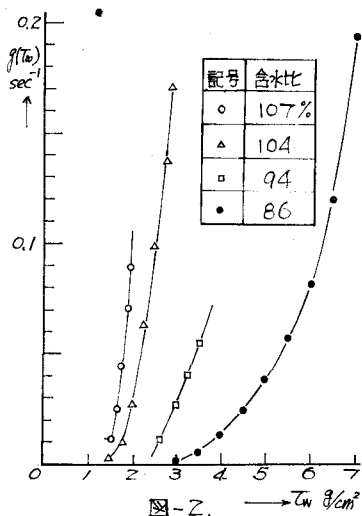


図-2.

ここに  $k, n$ : 定数,  $\tau_y$ : 真の降伏値である。(今現実の流動現象がある限りいた範囲の流速で流動する場合、あるいはHerschel-Bulkley式が適用計算に適さない場合などにおいては、多少精度の点を犠牲にして、Bingham流動)

$$g(\tau) = (\tau - \tau_y)/\mu_p \quad (ii)$$

として近似することも可能であると思われる。ここに  $\mu_p$ : 塑性粘度,  $\tau_y$ : 降伏値である。

### (1) 流速の遅い場合について

以上の実験において、变形速度が  $1 \times 10^{-2} \text{ sec}^{-1}$  以下の部分については精度が悪く十分明確でないので、この部分をさらに精度よく測定した。その結果を図-3に示す。図において最も遅い場合の流速は  $6 \times 10^{-6} \text{ cm/sec}$  であるが、この程度の流速まで測定すればかなり正確にて軸との交点(すなわちHerschel-Bulkley式における降伏値)の値を外挿することも可能なようと思われる。

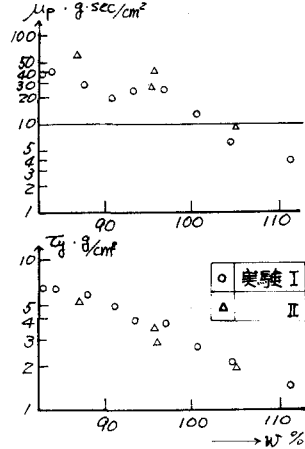


図-4

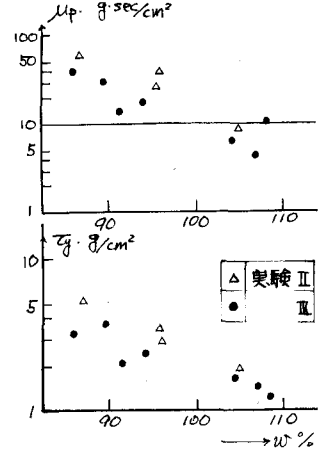


図-5

### (2) パイプの入口損失について

図-4、および図-5は流動曲線をBingham流動として近似した場合の  $\mu_p, \tau_y$  を含水比  $w$  に対して示したものである。実験 I, II, III といふれども含水比  $w$  が増加するにつれて  $\mu_p, \tau_y$  もともに指数関数的に減少するとと思われる。図-4は実験 I および II すなわち管径は異なるが  $l/R$  が同じ場合について比較したものであるが、 $\mu_p, \tau_y$  ともにほぼ一致した値が得られており。一方図-5は実験 II および III すなわち管径が同じで  $l/R$  が約 1/2 の場合について比較したものであるが、実験 III すなわち  $l/R$  が大きい場合に  $\mu_p, \tau_y$  ともにやや小さな値を示すことが認められる。これらの差異はおもに  $l/R$  の関数で表わされるパイプの入口損失に起因するものと考えられる。そこで実験 III および IV に沿って以下に示す方法で入口損失の補正を行なった。Krieger-Marcus によれば、流動曲線は次式で表わされる。

$$g(\tau_w) = \tau_w (\phi_a + \tau_w / 4 \cdot d\phi_a / d\tau_w) \quad (iii)$$

ここに、見掛けの流動度  $\phi_a = 4U_a / R\tau_w$ , 管壁のせん断応力  $\tau_w = R(\Delta P / 2L)$ ,  $U_a$ : 平均流速。ここで実験 III および IV においてぞれぞれの長さを  $l, l_0$ , 同じ平均流速  $U_a$  のときの圧力降下をぞれぞれ  $\Delta P, \Delta P_0$  とし、これらの一パイプにおいて重ね合わせが成立立つとすれば、補正後の  $\phi_a, \tau_w$  は次式で表わされる。

$$\phi_{ac} = 4U_a / R\tau_{wc}, \quad \tau_{wc} = R(\Delta P - \Delta P_0) / 2(l - l_0) \quad (iv)$$

(iii)(iv)式より求めた  $\phi_a, \tau_w$  曲線を図-6に示す。この図より入口損失の影響はほぼ 1/5割程度と考えられる。図中の表は流動曲線をBingham流動として近似した場合の  $\mu_p, \tau_y$  の値を試みに示したものである。  
(参考文献) 1) 松井, 竹本「軟弱粘土の流動特性について」43年度鹿児島支部年次学術講演会概要

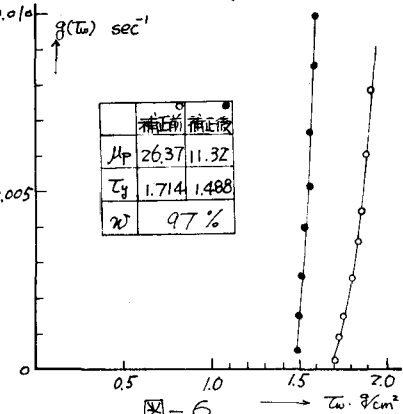


図-6